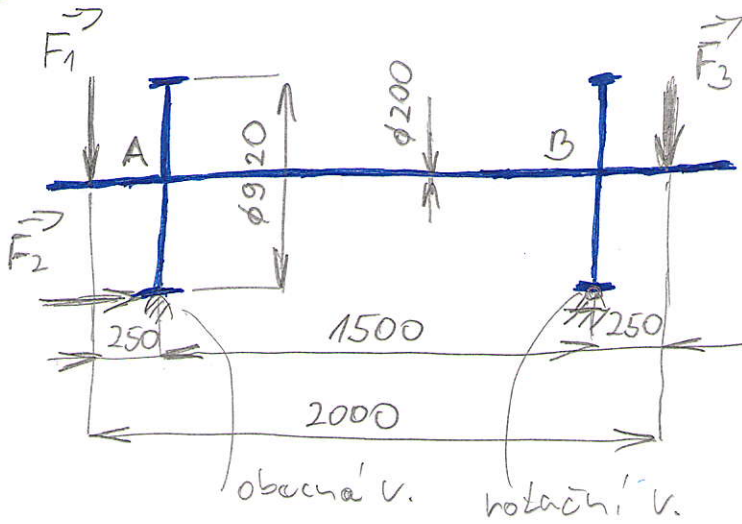


Př.: Rozhodněte o chování defektu v nejnebezpečnějším místě ~~na~~ vlnového dvojkolí (náprava i s koly).

SCHEMA DVOJKOLÍ:



Uvažujte rozměry, zatížení a vazby dle schématu.

$F_1 = 150 \text{ kN} ; F_2 = 50 \text{ kN}$

$F_3 = 100 \text{ kN}$; síly mají
mírný char.

ϕ kola je 920 mm

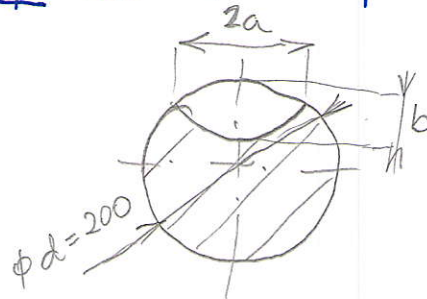
ϕ nápravy (všude stejný) 200 mm

$K_{apz} = 5 \text{ MPa}\sqrt{\text{m}} ; K_{IC} = 30 \text{ MPa}\sqrt{\text{m}}$

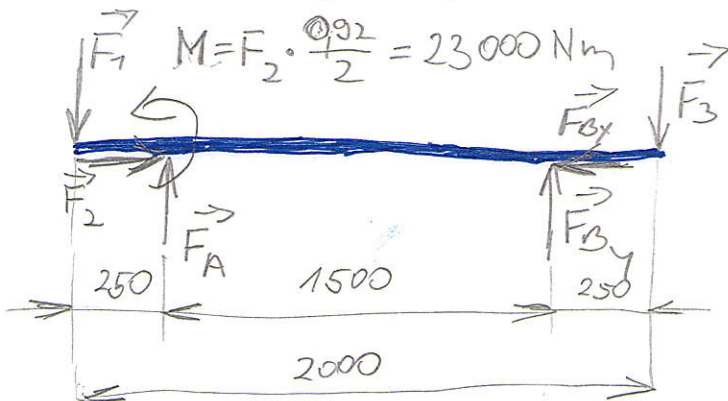
Tvar předpokládaného defektu:

- poloeliptická křivka \perp na osu nápravy o rozměrech

$b = 1,5 \text{ mm} ; a = 1,5 \text{ mm}$



V následujícím budeme předpokládat, že nebezpečné místo se nachází na nápravě. Vvolněné náprava uvažovaná jako prutové těleso vypadá pak následovně:



$NP = \{F_A ; F_{Bx} ; F_{Bz}\}$

$\mu = 3 \quad \nu = 3$ (rovinná úloha)

$\mu = \nu \quad \mu_m + \mu_n \leq \nu_m$

$3 = 3$ $0 + 0 < 1$

\Rightarrow úloha je staticky určitá

$$\sum F_x: F_2 - F_{B_x} = 0 \Rightarrow \underline{\underline{F_{B_x} = F_2 = 50 \text{ kN}}}$$

$$\sum F_y: F_A + F_{B_y} - F_1 - F_3 = 0$$

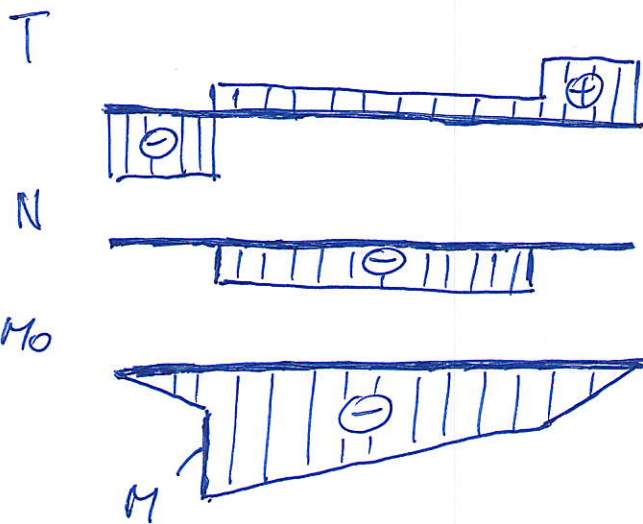
$$\sum M_A: F_1 \cdot 0,25 + M + F_{B_y} \cdot 1,5 - F_3 \cdot 1,75 = 0 \Rightarrow$$

$$\Rightarrow \underline{\underline{F_{B_y} = \frac{1,75 F_3 - M - 0,25 \cdot F_1}{1,5} =}}$$

$$= \frac{1,75 \cdot 100\,000 - 23\,000 - 0,25 \cdot 150\,000}{1,5} = \underline{\underline{76\,333 \text{ N}}}$$

$$\Rightarrow \underline{\underline{F_A = F_1 + F_3 - F_{B_y} = 150\,000 + 100\,000 - 76\,333 = 173\,667 \text{ N}}}$$

VVÚ:



$$\begin{aligned} \sigma_{N,A} &= \frac{N}{S} = \frac{-F_2}{\frac{\pi d^2}{4}} = \frac{-50\,000}{\frac{\pi \cdot 0,2^2}{4}} = \\ &= 1,6 \cdot 10^6 \text{ Pa} = \underline{\underline{1,6 \text{ MPa}}} \end{aligned}$$

Na základě VVÚ je nebezpečným místem místo A, když se do něj blížíme z prava.

Pos. sílu T pro následující úvahy vynecháme.

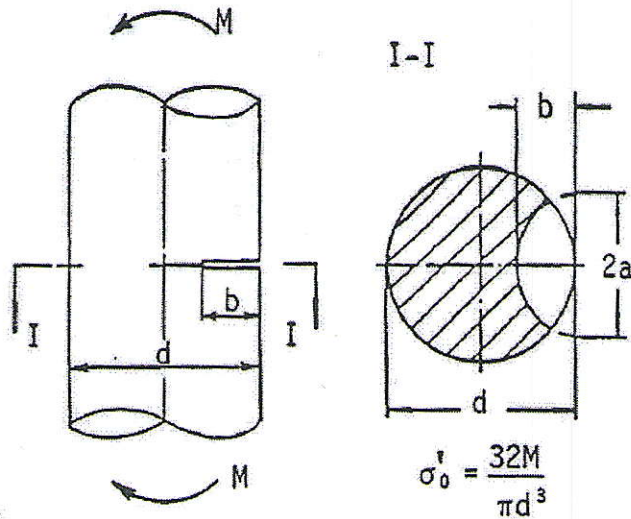
Napětí v nebezpečném místě:

$$\begin{aligned} \sigma_{\sigma,A} &= \frac{M_{oA}}{W_o} = \frac{F_1 \cdot 0,25 + M}{\frac{\pi d^3}{32}} = \\ &= \frac{150\,000 \cdot 0,25 + 23\,000}{\frac{\pi \cdot 0,2^3}{32}} = \\ &= 77 \cdot 10^6 \text{ Pa} = \underline{\underline{77 \text{ MPa}}} \end{aligned}$$

Normálové napětí je velmi malé, navíc nám „pomáhá“ zavírat případnou žhlišku. V dalším ho nebudeme uvažovat.

Tožto zjednodušení je možné, protože je konzervativní, navíc je hodnota $\sigma_{N,A}$ zanedbatelná vůči $\sigma_{\sigma,A}$.

(2)



(a) Problem to be solved

$$K_{I,3}^B = \sigma_0' \sqrt{\pi b} F_{I,3}^B, \quad \sigma_0' = \frac{32M}{\pi d^3}$$

Table Dimensionless stress intensity factors for a semi-elliptical surface crack in a shaft under bending : $F_{I,3}^B$

b/d \ b/a	0.000	0.100	0.200	0.300	0.400	0.500	0.600	0.700	0.800	0.900	1.000
0.000	1.123	1.092	1.048	0.996	0.940	0.884	0.829	0.778	0.733	0.694	0.661
0.010	1.116	1.085	1.041	0.990	0.934	0.878	0.824	0.774	0.729	0.690	0.656
0.020	1.108	1.077	1.034	0.982	0.927	0.871	0.818	0.768	0.723	0.684	0.651
0.030	1.098	1.068	1.025	0.974	0.919	0.864	0.811	0.761	0.717	0.678	0.646
0.040	1.088	1.058	1.015	0.965	0.911	0.856	0.803	0.754	0.710	0.672	0.640
0.050	1.077	1.047	1.005	0.955	0.902	0.848	0.795	0.747	0.703	0.666	0.634
0.060	1.066	1.037	0.995	0.946	0.893	0.839	0.787	0.739	0.696	0.659	0.627
0.070	1.055	1.026	0.985	0.936	0.884	0.830	0.779	0.732	0.689	0.652	0.621
0.080	1.045	1.016	0.975	0.927	0.875	0.822	0.771	0.724	0.682	0.645	0.614
0.090	1.034	1.005	0.965	0.917	0.866	0.814	0.763	0.717	0.675	0.639	0.608
0.100	1.024	0.996	0.956	0.908	0.857	0.806	0.756	0.710	0.669	0.633	0.602
0.110	1.014	0.986	0.947	0.900	0.849	0.798	0.749	0.703	0.662	0.627	0.597
0.120	1.005	0.977	0.938	0.891	0.841	0.791	0.742	0.697	0.656	0.621	0.591
0.130	0.996	0.968	0.929	0.883	0.834	0.784	0.735	0.690	0.650	0.615	0.586
0.140	0.987	0.960	0.921	0.876	0.827	0.777	0.729	0.684	0.645	0.610	0.581
0.150	0.979	0.952	0.913	0.868	0.819	0.770	0.723	0.678	0.639	0.605	0.576
0.160	0.970	0.943	0.906	0.861	0.812	0.764	0.716	0.673	0.634	0.600	0.571
0.170	0.962	0.935	0.898	0.853	0.805	0.757	0.710	0.667	0.628	0.594	0.566
0.180	0.953	0.927	0.890	0.846	0.798	0.750	0.704	0.661	0.622	0.589	0.561
0.190	0.944	0.918	0.881	0.838	0.791	0.743	0.697	0.655	0.617	0.584	0.556
0.200	0.935	0.909	0.872	0.829	0.783	0.736	0.690	0.648	0.610	0.578	0.550
0.210	0.925	0.899	0.863	0.820	0.774	0.728	0.683	0.641	0.604	0.571	0.544
0.220	0.913	0.888	0.852	0.810	0.765	0.719	0.674	0.633	0.596	0.564	0.537
0.230	0.901	0.876	0.841	0.799	0.754	0.709	0.665	0.625	0.588	0.557	0.530
0.240	0.887	0.862	0.828	0.787	0.743	0.698	0.655	0.615	0.579	0.548	0.522
0.250	0.871	0.847	0.813	0.773	0.729	0.686	0.643	0.604	0.569	0.538	0.513

References

[1] Y. Murakami and H. Tsuru, Stress-Intensity Factor Equations for a Semi-Elliptical Surface Crack in a Shaft under Bending, Stress Intensity Factors Handbook, Soc. Mater. Sci., Japan, (1986).

Sočiniteľ intenzity napätí môže byť odhadnut z predchozí tabuľky.

$$K_I = \sigma_{0,A} \cdot \sqrt{\pi} \cdot b \cdot F_{I,3}^B \quad \text{Pro určení bezrozměrné funkce } F_{I,3}^B$$

musíme znát poměr $\frac{b}{a} = \frac{1,5}{200} = 7,5 \cdot 10^{-3}$ a $\frac{b}{a} = \frac{1,5}{1,5} = 1$.

Poměru $\frac{b}{a} = 1$ odpovídá poslední sloupec tabuľky, poměr $\frac{b}{a} = 7,5 \cdot 10^{-3}$ leží mezi hodnotami 1. a 2. řádku.

Funkci $F_{I,3}^B$ odhadneme jako $F_{I,3}^B = 0,658$. Potom:

$$K_I = 77 \cdot \sqrt{\pi} \cdot 0,0015 \cdot 0,658 = \underline{\underline{3,48 \text{ MPa}\sqrt{\text{m}}}}$$

$K_I (3,48 \text{ MPa}\sqrt{\text{m}}) < K_{Kopz} (5 \text{ MPa}\sqrt{\text{m}}) \Rightarrow$ z defektu se zuhlina nebude dále šířit.

Ověření oprávněnosti použití K-koncepcie:

Budeme uvažovat mezi klasy $\bar{\sigma}_K = 400 \text{ MPa}$.

Poloměr plastické zóny před vcholem zuhliny (nov. deformace):

$$r_K = \frac{1}{3\pi} \cdot \left(\frac{K_I}{\bar{\sigma}_K} \right)^2 = \frac{1}{3\pi} \cdot \left(\frac{3,48}{400} \right)^2 = \underline{\underline{8 \cdot 10^{-6} \text{ m}}}$$

$r_K (8 \cdot 10^{-6} \text{ m}) \ll b (1,5 \cdot 10^{-3} \text{ m}) \Rightarrow$ K-koncepci je možno^x použít.

Závěr: Pokud by v nejnebezpečnějším místě napřavy (A) existoval defekt tvaru zuhliny o $a = b = 1,5 \text{ mm}$, dále by se při daném způsobu zatížení nešířil.

(4)